

PAPER DETAILS

TITLE: Mineral dolgu maddelerinin findikkabugu/polimetilmetakrilat kompozitlerin ses yutma katsayisina etkileri

AUTHORS: Kenan BÜYÜKKAYA

PAGES: 160-168

ORIGINAL PDF URL: <http://ofd.artvin.edu.tr/tr/download/article-file/2313597>

Mineral dolgu maddelerinin fındikkabuğu/polimetilmetakrilat kompozitlerin ses yutma katsayısına etkileri

Effects of mineral fillers on sound absorption coefficient of nutshell/polymethylmethacrylate composites

Kenan BÜYÜKKAYA 

Giresun Üniversitesi, Teknik Bilimler Meslek Yüksekokulu, Makina ve Metal Teknolojileri, Giresun, TÜRKİYE

Eser Bilgisi / Article Info

Araştırma makalesi / Research article

DOI: 10.17474/artvinofd.1088771

Sorumlu yazar / Corresponding author

Kenan BÜYÜKKAYA

e-mail: kenan.buyukkaya@giresun.edu.tr

Geliş tarihi / Received

16.03.2022

Düzelme tarihi / Received in revised form

18.04.2022

Kabul Tarihi / Accepted

05.05.2022

Elektronik erişim / Online available

16.05.2022

Anahtar kelimeler:

Fındikkabuğu

Mineral dolgu,

Kompozit

Ses yutma katsayısı

Keywords:

Nut Shell

Mineral filling

Composite

Sound absorption

Özet

Bu çalışmada, farklı partikül boyutuna sahip (max.150, 250, 425 mikron) fındikkabuğu/polimetilmetakrilat kompozitlere ilave edilen, mineral dolgu maddelerinin ses yutma katsayısına etkileri araştırılmıştır. Kullanılan dolgu maddeleri; camküre, wollastonit, ve mika'dır. Farklı partikül boyutlarına sahip fındikkabuğu polimetilmetakrilat kompozitler % 15 oranında fındikkabuğu içermektedir. Bu kompozitler içerisinde % 2,5, 5 ve 10 oranında dolgu maddeleri ilave edilerek ses yutma testlerinde kullanılacak kompozit numuneler hazırlanmıştır. Mineral dolgulu fındikkabuğu/polimetilmetakrilat kompozitlerin ses yutma (α) katsayıları, çift mikrofonlu empedans tüpü yöntemiyle belirlenmiştir. Ayrıca kompozitlerin yoğunlukları Arşimed prensibine göre tayin edilip, içerdiği boş hacim yüzde oranları hesaplanmıştır. Numune morfolojisini değerlendirmek amacıyla, deney yapılan numunelerden kırık parçalar elde edilmiştir. Kırık yüzeylerin görüntüleri taramalı elektron mikroskopu ile görüntülenip, iç yapı bu görüntüler çerçevesinde değerlendirilmiştir. Çalışmanın sonuçlarına göre, kompozite ilave edilen cam küre ve mikanın oranları ile birlikte, fındikkabuğu partikül boyutunun da artması ses yutma katsayısını artmıştır. Bu değişimin sadece fındikkabuğu kompozitlere göre maksimum % 247 oranda olduğu belirlenmiştir.

Abstract

In this study, the effects of mineral fillers added to nutshell Polymethylmethacrylate composites with different particle sizes (max.150, 250, 425 microns) on sound absorption were investigated. The fillers used are glass sphere, wollastonite, carbonate and mica. Hazelnut shell polymethylmethacrylate composites with different particle size contain 15% nut shell. Composites to be used in sound absorption tests were prepared by adding 2,5, 5, 10 % fillers to these composites. Sound absorption (normal incidence absorption coefficient) properties of mineral filled Nutshell / polymethylmethacrylate composites were determined by dual-microphone impedance tube method. In addition, the density of the materials was found according to the Archimedes principle and the empty volume fractions it contained were determined. In order to evaluate the internal structure of the sample, broken pieces were obtained from the tested samples. The images of the fractured surfaces were visualized by scanning electron microscopy and the internal structure was evaluated within the framework of these images. According to the results of the study, the increase in the hazelnut shell particle size along with the ratios of glass sphere and mica added to the composite increased the sound absorption coefficient. It was determined that this change was maximum 247% compared to plain hazelnut shell composites.

GİRİŞ

Kompozit üretiminde kullanılan sentetik takviye malzemeleri doğaya ve çevreye zarar vermektedir. Son yıllarda çevre bilincinin gelişmesinin yanında bu konudaki hassasiyetlerin artmasına paralel olarak, çevreye duyarlı malzemelerin kullanılması yönündeki araştırmalarda belirgin artış görülmektedir. Son yirmi yılda, araştırmacılar, farklı atıklar kullanarak çevreye duyarlı kompozit malzeme üretimi ve karakterizasyonu alanında çok sayıda tecrübe paylaşımlarıdır (Dungani ve ark. 2016, Garcia-Garcia ve ark. 2018, Joseph ve Babaremu 2019)

Günümüzde atıkların yeniden değerlendirilmesi ile ilgili çalışmalar gerek ekonomik gerekse çevresel kaygıları nedeni ile hız kazanmıştır. Bu kapsamında yapılan çalışmalarla, atıkların yeniden değerlendirilerek, ses yutma panelleri gibi uygulamalarda kullanılabileceği ortaya konulmuştur (Echeverria ve ark. 2018). Kang ve arkadaşlarının, (2009) pirinç kabuğu-talaş kompozit ses yutma katsayısını araştırdıkları çalışmalarda, levhaların yoğunluğunun artması ile kompozitin ses absorbsiyonunun arttığını ortaya koymuşlardır. Pirinç kabuğu-talaş kompozit levhaların, yüksek ses yutma

katsayıları nedeniyle inşaatta ses yutucu bariyerler olarak kullanılabileceği sonucuna varmışlardır. Tuic ve arkadaşları (2018) testere talaşı poliüretan köpük kompozitlerin ses yutma özelliklerini incelemişlerdir. Ses yutma özelliklerinin talaş partikül boyutuna, bağlayıcı yüzdesine ve kompozitin kalınlığına göre değiştiği sonucuna varmışlardır. İannace (2017) yaptığı araştırmada, saman, ot, süpürgelik, bitki parçası, iri taneli kestane yongaları ve ince taneli kavak odun yongaları gibi malzemelerin 200 ve 2000 Hz. frekans aralığında akustik yutma katsayılarını belirlemiştir. Ölçüm sonuçlarına göre numune kalınlığının arttırılmasının, ses yutma katsayıyı değerini artırdığını, düşük ve yüksek frekanslardaki maksimumlar arasındaki mesafenin azaldığını rapor etmişlerdir. Pampuro ve arkadaşları (2018) tarımsal atıklardan üretilen iki farklı kompostun yoğunluk, dayanıklılık ve parçacık boyutuna bağlı ses yutma özelliklerini irdelemiştir. Çalışma sonucunda kompostların partikül boyutunun, fiziksel ve akustik özellikler üzerinde önemli bir rol oynadığını göstermiştir. Borrel ve arkadaşları (2020) yoğunluk, şekil ve gözeneklilik açısından farklı özelliklere sahip dört çeşit meyve çekirdeği ile yürüttükleri çalışmada ses emiliminin meyve çekirdeğinin cinsine ve numunenin kalınlığına bağlı olarak değiştigini göstermiştir. Panellerin ses yutma katsayılarının 550 Hz (HERZT) ila 1500 Hz frekans aralığında, bazı örneklerde 0.7 ila 0.95 katsayılarına ulaştığını rapor etmişlerdir.

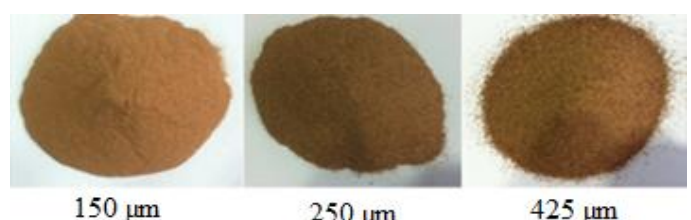
Fei ve arkadaşları (2018) termoplastik kauçuk (TPR, polipropilen / etilen propilen dien monomer) kompozitlerin içerisinde içi boş cam mikro küreler takviye ederek yaptıkları çalışmada cam kürelerin ses yalıtımının yanı sıra, mekanik özellikleri de güçlendirdiğini rapor etmişlerdir. Mikro ölçekli dolguların heterojen dağılımının, kompozitlerin iletim kaybı (STL) değerini büyük ölçüde etkilediğini belirlemiştir. Durdurulan ses empedansı ve güçlendirilmiş ses yalıtımı için malzemenin sertliğinin çok önemli olduğunu vurgulamışlardır.

Bu çalışmada, fındikkabuğu partikülleri (FKP) sertliği farklı mineral dolgu maddeleri (camküre (CK), wollastonit (WO), ve mika (Mi)) ile karıştırılmış polimetilmekrilat matrisli kompozitler üretilmiş ve oluşturulan kompozitlerin ses yutma katsayıları ISO 10534-2 prosedürüne uygun olarak belirlenmiştir. İlave edilen bu dolguların kompozitin elastik davranışını değiştirdiği bilinmektedir. Araştırmada, fındikkabuğu tozuna katılan inorganik dolgu maddelerinin kompozitin elastik özelliklerini değiştirme yolu ile ses yutma özelliklerini etkilediği belirlenmiştir.

MATERIAL VE METOD

Materyal

Fındikkabuğu-polimetilmekrilat kompozitlerin oluşturulması için, öğreticiler yardımı ile fındık kabuğu tozu hazırlanmıştır. Geniş bir dağılım gösteren fındikkabuğu tozu'nun etkilerini belirlemek amacıyla, elde edilen fındık kabuğu partikülleri (FKP) farklı göz açıklıklarına sahip (150 , 250 , 425 μm) laboratuvar eleklere yardımı ile boyutlandırılmıştır (Şekil 1).



Şekil 1. Kompozitlerin üretiminde kullanılan farklı boyutlardaki tozların görüntüsü

Kompozit içerisinde ilave edilen mineral katkılar, Omya firmasının (Omya Madencilik Mithat Ünlü Sokak No:7, D:4/Zincirlikuyu Beşiktaş / İstanbul) Türkiye distribütörlüğünden temin edilmiştir. Kullanılan minerallerin bazı özellikleri Çizelge 1'de verilmiştir (Omya 2021).

Çizelge 1. Kompozitlerde katkı maddesi olarak kullanılan minerallerin bazı özellikleri

Malzeme/ Özellikler	Cam küre	Wollastonit	Mika
Sertlik, Mohs	6	4.5-5	2-2.5
Erime noktası °C	7300	1540	1300(Bozun.)
Yöğunluk, gr/cm ³	2.60	2.8-3.9	2.8-2.9
Partikül büyüklüğü(μm)	70-110	2-40	25-98

Fındikkabuğu-polimetilmekrilat (PMMA) kompozitlerin oluşturulmasında kullanılan matris malzemesi Otto Bock firmasının (Almanya) Türkiye temsilciliğinden sağlanmıştır. Kullanılan polimetilmekrilat matris malzemesinin sertleştirilmesi için aynı firmadan peroksit esaslı kimyasal madde temin edilmiştir. Standart PMMA'ya ait bazı mekanik özellikler Çizelge 2'de verilmiştir (Callister 2007, Xiaofei ve ark. 2014).

Çizelge 2. Standart PMMA'nın mekanik özellikleri

Kopma uzam. (%)	Sertlik Rockw. (M)	Darbe day. (kJ/m ²)	Poisson oranı	Elastis. mo. N/mm ²)	Çekme day. ((N/mm ²)
0.5-5	93	11	0.35-40	3300	60-70

Metod

Bu çalışmada fındıkkabuğu/polimetilmekatrilat kompozitlerin ses absorbşyon, α (normal insidans ses yutma katsayı) özellikleri çift mikrofonlu akustik empedans tübü (Brüel&Kjaer PULSE™) ile belirlenmiştir (Şekil 2) Ölçümler ISO 10534-2: 2002 esaslarına göre gerçekleştirilmiştir. Geniş tüp (100 mm, model 4206) 50 Hz ile 1600 Hz, dar tüp (29 mm, model 4206) 500 Hz ile 6400 Hz frekans aralığındaki ses yutum katsayısını belirlemek için kullanılmıştır. Numunelerin ölçüm tübüne uygun şekilde yerleştirilmesi amacıyla, 40 mm uzunluğunda ve 29 mm çapında bir çubuk kullanılmıştır. Malzemenin ses yutma katsayısını belirlemek amacıyla üç farklı numune üzerinde ölçüm yapılmış ve verilerin ortalaması alınmıştır.



Şekil 2. Çift mikrofonlu empedans tübü (model 4206)

Örneklerin Hazırlanması

Fındıkkabuğu/polimetilmekatrilat kompozitlerden deney numunesi oluşturmak amacıyla teflon (PTFE) malzemeden döküm kalıpları hazırlanmıştır. Polimetilmekatrilat matrise, matris ağırlık oranına göre % 2 peroksit sertleştirici ilave edilmiş ve karışım homojen oluncaya kadar manyetik karıştırıcı ile karıştırılmıştır. Daha sonra farklı büyülükte (150, 250, 425 μm) ve matris kütlesi üzerinden % 15 fındıkkabuğu eklenmiştir. Hazırlanan karışımı 2.5, 5 ve 10 oranlarında mineral dolgu maddeleri karıştırılarak sıvı döküm malzemesi oluşturulmuştur. Homojenliği sağlamak amacıyla karışım karıştırıcı ile karıştırıldıktan sonra teflon kalıplara dökülmek sureti ile işlenmemiş test numuneleri elde edilmiştir. Numuneler nihai kür uygulaması için 24 saat boyunca 80 °C fırında bekletilmiştir. Numuneler otomatik tezgahlarda standartlara uygun şekilde 29 ve 100 mm çaplarında işlenmiştir (Şekil 3).

Fiziksel ve Kimyasal Karakterizasyon

Fındıkkabuğu'nun yoğunlukları piknometre yöntemi ile belirlenip, ölçüm işleminde sıvı olarak aseton kullanılmıştır.



Şekil 3. Dökülmüş ve işlenmiş kompozit ses yutma numunesi (çap 100 mm)

Fındıkkabuğu tozundan bulunan kimyasal materyallerin oranı kimyasal analiz kapsamında, Karadeniz Teknik Üniversitesi Orman Endüstri Bölümü odun kimyasal laboratuvarında, holoselüloz Wise'nin klorit metodu ile, Alfa selüloz TAPPI T 203 os-71 yöntemi ile, lignin TAPPI T 222 om-88 metodu ile belirlenmiştir.

X-ışını kırınım testi, bakır radyasyonlu gelişmiş Diffractometer (Europe 600 XRD) ile gerçekleştirilmiştir. Cu Ka, 40 kV ve 30 mA'da çalıştırılmıştır. Tarama aralığı 10-30, adım boyutu 0.02 ve tarama hızı 0.4 / dakika olarak seçilmiştir. Elde edilen sayısal değerler ve denklem 1 yardımcı ile malzemelerin kristalin yüzdesi belirlenmiştir (Segal ve ark. 1959).

$$\text{CrI} = (\text{I}_{002} - \text{I}_{am}) \times 100 / \text{I}_{002} \quad (1)$$

Burada I_{002} , 002 kristalin zirvesinin maksimum noktası ve I_{am} , 101 ve 002 pikler arasındaki amorf malzemenin en düşük noktasıdır.

Kırık yüzeylerin taramalı elektron mikroskopisi görüntüleri, yüzeylerin altın ile kaplanmasıından sonra JEOL Ltd. JSM-5910 marka ve kodlu cihaz kullanılarak elde edilmiştir. Görüntülerin yorumlanması fındıkkabuğu partikülü/polimetilmekatrilat kompozitin kırık yüzeylerinin detaylı incelenmesi ile gerçekleştirilmiştir.

Kompozitin yoğunluğu arşimed yöntemi ile belirlenip içerisindeki boşluk miktarı formül 2 yardımcı ile hesaplanmıştır (Segal ve ark. 2015)

$$V_v = 100 - \rho_c \left(\frac{\%m_m}{\rho_m} + \frac{\%m_f}{\rho_f} \right) \quad (2)$$

Burada V_v boş hacim oranı, (% m_m) matris kütle oranı (% m_f) fiberin kütle oranı, ρ_c , ρ_m , ρ_f sırasıyla kompozitin, matrisin ve fiberin yoğunluklarıdır.

BULGULAR VE TARTIŞMA

Fındıkkabuğu Tozunun Kimyasal Analizi ve Yoğunluğu

Fındıkkabığının kimyasal analiz sonuçları ve yoğunluğu Çizelge 3'de verilmiştir. Fındıkkabuğu tozunun yoğunlukları tane boyutuna göre değişmiştir. Yoğunlık $150 \mu\text{m}$ partikül boyutu ile $425 \mu\text{m}$ partikül boyutu arasında % 6 değişim göstermiştir.

Çizelge 3. Fındıkkabuğu tozunun elementel analiz sonuçları.

FKP	Holosel.%	α -sel. %	Hem.sel. %	Lignin %	Yoğunluk gr/cm^3
FKP 150	54.61	29.94	24.67	31.87	1.28
FKP 250	54.77	30.83	23.94	33.08	1.31
FKP 425	54.24	31.71	22.53	34.12	1.36

Fındıkkabuğu Tozunun X-Işını Kırınımı Analizi

Fındıkkabuğu içerisindeki selülozun tipik kristal kafesine ait X-ışını kırinım desenleri Şekil 4a ve b'de verilmiştir. Selüloz yapıya ait (101) ve (002) düzlemlerine karşılık gelen iki teta değerleri 150 , 250 , 425 , μm olan fındıkkabuğu partiküllerinde sırasıyla 18.68 - 22.36 , 18.81 - 22.00 ve 18.83 - 22.00 'dir. Bu veriler değerlendirildiğinde tozun büyülüklüğü arttıkça 2 teta değerlerinde artış meydana gelmiştir.

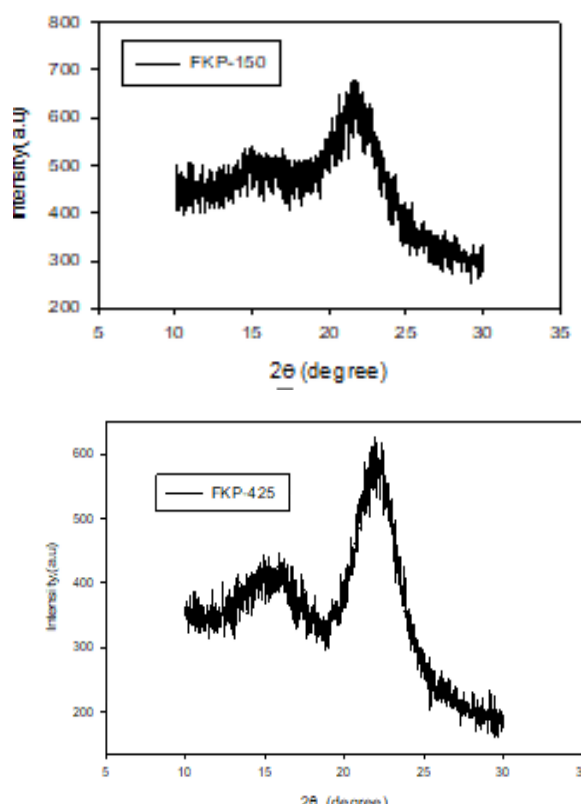
Fındık kabuğu ununun kristalin indeksi (Crl), Segal empirik yöntemi (Jonoobi ve ark. 2010) kullanılarak belirlenmiştir. Bu yöntem, aşağıdaki denklem vasıtası ile kristalin indisinin hızlı ve basit bir şekilde hesaplanması sağlanmaktadır. Yapılan bazı çalışmalarla, sisal, keten, kenevir, kenaf gibi selüloz elyaf çeşitlerinin kristalinite indeksini ölçmek için araştırmacılar aynı yöntemi kullanılmıştır (Roncero ve ark. 2015).

Şekil 4a ve 4b'de elde edilen sayısal veriler yardımcı ile I_{002} ve I_{am} değerleri belirlenmiştir. Formül (1) yardımcı ile maksimum tane büyülüklüğü 150 , 250 , 425 , μm olan fındıkkabuğu tozlarının kristalinite indekslerinin sırasıyla, 36% , 39% , 43% , olduğu ortaya konulmuştur. Yoğunlukla kristalin indeksi birlikte irdelendiğinde her iki verinin birbirini teyit ettiği görülmüştür.

Kompozitin Yoğunluğu ve Boşluk Hacim Fraksiyonu

Kompozitin yoğunluğu arşimed yöntemi ile belirlenip, içerisindeki boşluk miktarı formül 2 yardımcı ile hesaplanmıştır. Çizelge 4'de partikül boyutuna göre sade

fındıkkabuğu kompozitlerin yoğunluğu ve boşluk hacim oranları sunulmuştur. Bununla birlikte en yüksek ses yutma katsayıları değerlerini ortaya koyan 250 mikron partikül boyutuna sahip mineral katkılı kompozitlerin yoğunluğu ve boş hacim fraksiyonu değerleri verilmiştir. Çalışmada sade fındıkkabuğu kompozitlerin ses yutma katsayısunın, fındıkkabuğu partiküllerinin yoğunlukları ve partikül büyülüklüğü ile doğru orantılı olduğu sonucuna varılmıştır. Mineral takviyeli kompozitlerin ses yutma katsayısı kompozitin yoğunluğu ile ters orantılı olarak artmıştır.



Şekil 4a. $150 \mu\text{m}$ boyutundaki tozun xrd grafiği **Şekil 4b.** $425 \mu\text{m}$ boyutundaki tozun xrd grafiği

Literatürde bazı çalışmalarla kompozite katılan katkı maddelerinin tane boyutunun artması ve kompozitin yoğunluğunun azalması ile ses absorsyonunun artığı ortaya konulmuştur (Qui ve Enhui 2018, Doost-hoseini ve ark. 2014).

Çizelge 4. Kompozitin tane büyülüklüğü, yoğunluğu ve boşluk hacim fraksiyonu

Örnekler	Partikül boy (μm)	Komp.yoğ. (g/cm^3)	Boşluk oranı (%)
FKP-150-% 15	150	1.23	0.49
FKP-250-% 15	250	1.22	0.95
FKP-425-% 15	425	1.21	1.78
FKP-250 CK-% 10	250	1.26	10.07
FKP-250 WO-% 10	250	1.31	6.12
FKP-250 Mi-% 10	250	1.25	10.70

Kompozitlerin Ses yutma Özellikleri

150 Mikron (μm) tane boyutunda fındıkkabuğu/polimetilmetakrilat kompozitlerde ses yutma katsayısına mineral katkılarının etkisi

Cam küre ilavesinin ses yutma katsayısına etkisi

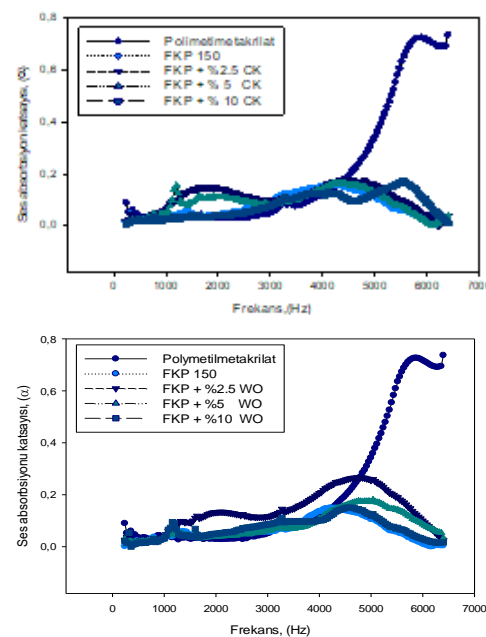
Fındıkkabuğu camküre takviyeli kompozitlerin grafiği Şekil 5a'da verilmiştir. Mineral katkı içermeyen fındıkkabuğu katkılı kompozitlerin ses yutma katsayısı değeri yaklaşık 4230 Hz'de 0.15 dir. %5 cam küre katkılı kompozitlerde 4180 Hz frekansta ses yutma katsayısı 0.22 olmuştur. Bu oranda, katkı içermeyen fındıkkabuğu kompozitlere göre % 47 artış gerçekleşmiştir. Fındıkkabوغuna % 2.5 ve % 10 cam küre takviye edilmiş kompozitlerde 4282 Hz'de ses yutma katsayısı 0.16 ölçülmüştür. Her iki kompozitde de ses yutumunda % 7'lik bir artış gerçekleşmiştir.

Wollastonit ilavesinin ses yutma katsayısına etkisi

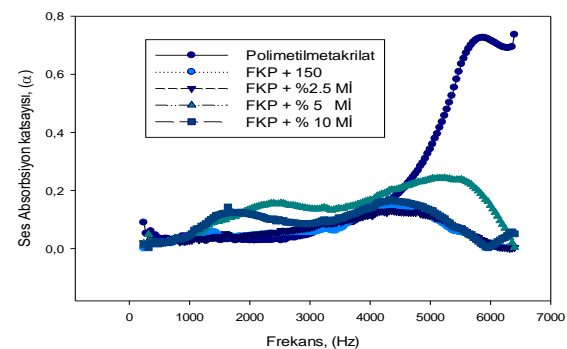
Fındıkkabuğu wollastonit kompozitlerin grafiği Şekil 5b'de verilmiştir. Verilere göre en yüksek ses yutma katsayısı değeri % 2.5 Woollastonit içeren kompozitlerde 4816'Hz'de 0.27' dir. Bu oran fındıkkabuğu kompozitlere göre % 80 artışı ifade etmektedir. % 5 wollastonit içeren kompozitler 4884Hz'de 0.18 ses yutma katsayısı değerine sahip olmuştur. % 10 wollastonit içeren kompozitler 4415Hz'de yaklaşık 0.15 oranı ile en düşük ses yutma değerine sahip olmuştur.

Mika ilavesinin ses yutma katsayısına etkisi

Fındıkkabuğu partiküllerine mika ilavesi ile oluşturulan kompozitlerin grafiği Şekil 6'da verilmiştir. Grafiğe göre, %15 sade fındıkkabuğu içeren kompozitlerde 4282 Hz'de 0.15 ses yutma katsayısı ölçülmüştür. %2.5 mika ilavesi ile oluşturulan kompozitlerin 4415Hz'de 0.13 oranında ses yuttukları belirlenmiştir. Sade fındıkkabuğu kompozitlere göre ses yutmada %15'lik bir düşüş gerçekleşmiştir. % 5 mika katkılı kompozitler 5283Hz'de 0.24 ses yutma katsayısı ile sade fındıkkabuğu takviyeli kompozitlerden % 60 daha fazla ses yutmuştur. % 10 mika ilaveli kompozitler, 4347 Hz'de 0.17 ses yutmuş ve fındıkkabuğu takviyeli malzemeye oranla %13 daha fazla ses yutumu sağlamıştır.



Şekil 5a Fındıkkabuğu cam küre ve 5b wollastonit takviyeli kompozitlerin grafiği



Şekil 6. Fındıkkabuğu cam küre takviyeli kompozitlerin grafiği

Yapılan çalışmada saf polimetilmetakrilatın 1718Hz'deki ses yutma katsayısı 0.05 olarak belirlenmiştir. Naderzadeh ve arkadaşları (2018) polimetilmetakrilat matrise silika, çinko oksit ve titanyumdioksit nono partiküllerini ilave ederek oluşturduğu kompozitlerin ses yutma özelliklerini incelemiştir. Yapılan çalışma ile saf polimetilmetakrilatın 1720 Hz'de 0.06 ses yuttuğunu belirlediler. Bu sonuç çalışmamızda elde ettigimiz bulgular ile uyumludur.

150 mikron fındıkkabuğu ilaveli kompozitlerde, partiküllerin yüzey alanları miktarının 250 ve 425 büyüğündeki tozlardan daha büyük olması sonucunda, matris malzemesi ile fındıkkabuğu arasında daha kuvvetli ara yüzey bağlantısı olduğu düşünülmektedir. Bu bağlantı nedeni ile gözeneklilik azalmış ve buna bağlı olarak ses yutma katsayısı değerinde önemli bir değişimi

gerçekleşmemiştir. Bu durum, malzeme iç yapısının SEM görüntüleri ile de ortaya konulmuştur.

250 Mikron (μm) partikül boyutunda fındıkkabuğu/polimetilmetakrilat kompozitlerin ses yutma katsayısına mineral katkılarının etkisi

Cam küre ilavesinin ses yutma katsayısına etkisi

Fındıkkabığuna camküre takviyeli kompozitlerin grafiği Şekil 7a'da verilmiştir. Sade fındıkkabuğu katkılı kompozitlerin ses yutma katsayısı değeri 1538 Hz'de 0.29 olmuştur. Fındıkkabuğu % 2.5 cam küre katkılı kompozitlerde 5100 Hz'de katsayı 0.25 olmuş ve ses yutumunda % 12 düşüş gerçekleşmiştir. % 5 ve cam küre ile takviye edilmiş kompozitlerde maksimum ses yutma katsayısı 4180 Hz'de 0.16'dır ve ses yutumunda % 81'lük düşüş görülmüştür. % 10 cam küre takviyeli fındıkkabuğu kompozitlerde 2442 Hz'de 1.0 ses yutma katsayısı değeri elde edilmiştir. Bu sonuç sade fındıkkabuğu kompozitlere göre ses yutmada % 245 artışı gösterir.

Wollastonit ilavesinin ses yutma katsayısına etkisi

Fındıkkabğu wollastonit kompozitlerin grafiği Şekil 7b'de verilmiştir. Mineral katkı içermeyen fındıkkabğu katkılı kompozitlerin ses ses yutma katsayısı değeri 1556 Hz'de 0.29 olmuştur. % 2.5 Wollastonit içeren kompozitler en yüksek 4532Hz'de 0.32 ses yutma katsayısı değerine ulaşmıştır. Bu kompozitlerde ses yutumunda % 18 artış gerçekleşmiştir. % 5 wollastonit içeren kompozitler 4264Hz'de 0.13 ses yutma katsayısı değerine sahip olmuştur. Bu kompozitlerde katsayıda % 107 düşüş gerçekleşmiştir. % 10 wollastonit içeren numuneler 5774Hz'de % 24 ses yutmuştur. Bu kompozitlerde sade fındıkkabğu takviyeli numunelere göre ses yutma katsayısı % 13 düşmüştür.

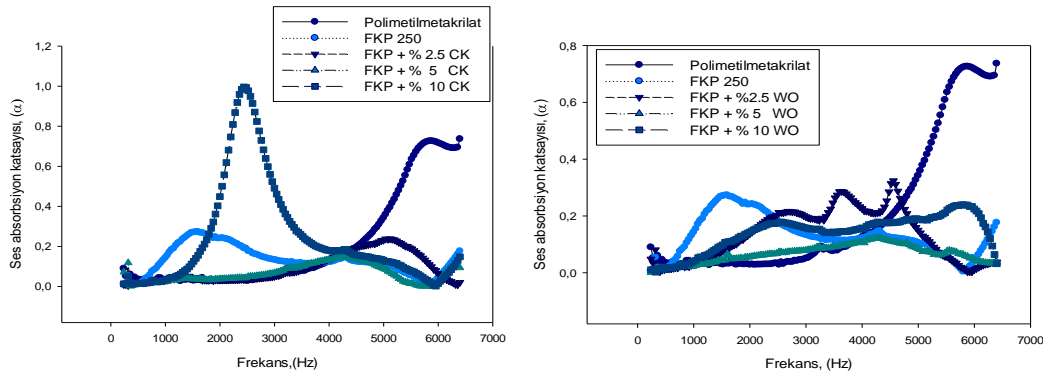
Mika ilavesinin ses yutma katsayısına etkisi

Fındıkkabğu partiküllerine mika ilavesi ile oluşturulan kompozitlerin grafiği Şekil 8'de verilmiştir. Verilere göre %15 sade fındıkkabğu kompozitler 1572 Hz'de 0.29 oranında ses absorbe etmiştir. % 2.5 mika ilavesi ile oluşturulan kompozitlerin 4665 Hz'de 0.17 oranında ses absorbe ettileri belirlendi. Bu oran fındıkkabğu kompozitlere göre absorbsiyonda % 70'lik bir düşüşü ortaya koymaktadır. % 5 mika katkılı kompozitler 4147Hz'de 0.21 ses absorbe ederek sadece fındıkkabğu takviyeli kompozitlerden % 38 daha az ses absorbe etmiştir. % 10 mika ilaveli kompozitler, 4458 Hz'de yaklaşık 0.96 ses yutumu göstermiş ve mineral içermeyen malzemeye oranla % 231 daha fazla ses absorbe etmiştir.

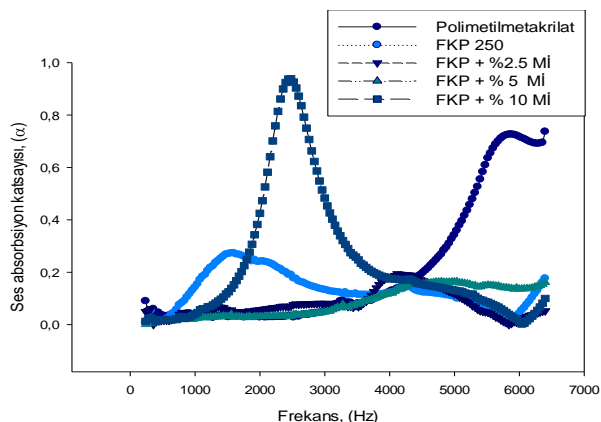
absorbsiyon özellikleri ortaya koymuştur. Burada etkin olan mekanizmaların; kompozite ilave edilen katkının maddesinin ses absorbsiyonu açısından optimum gözenekliliğe neden olması, modülün artmasına paralel biçimde rıjitliğin artması ve sesin enerjisinin sürtünme kayiplarına bağlı olarak azalması olduğu düşünülmektedir. Bu olgu araştırmacıların çalışmaları ile ortaya konulmuştur (Brebbia ve Wilde 2002).

İlage edilen minerallerden cam küre ve mika parçacıklarının diğerlerinden daha büyük olması kompozitlerin ses yutumunu olumlu yönde etkilemiştir. Lapčík ve arkadaşları (2019) içi boş kalsiyum karbonat küreleri, mika, wollastonit ve camsı perlit gibi minerallerin ses yutma katsayısını araştırdıkları çalışmada sırasıyla 0.25, 0.54, 0.43 ve 0.22 değerlerini elde etmişlerdir. Yazarlar çalışmada mikanın (0.54) wollastonitden (0.43) daha yüksek ses yutma katsayısına ulaştığını gösterdiler.

Kompozite ilave edilen fındıkkabığının tane boyutunun artması ile kompozitlerde ses yutumu yetenekleride önemli ölçüde artmıştır. Araştırmacılar yürüttükleri bazı çalışmalarında, kompoziti oluşturan katkı maddelerinin tane büyüğünün, kompozitin yoğunluğunun ve modülünün artması malzemenin ses yutma özelliğini olumlu yönde etkilediğini rapor ettiler (Chun-Won ve ark. 2012).



Şekil 7a. Fındıkkabuğu cam kure ve **7b** wollastonit takviyeli kompozitlerin grafiği



Şekil 8. Fındıkkabuğu mika takviyeli kompozitlerin grafiği

425 Mikron (μm) parçacık boyutunda fındıkkabuğu/ polimetilmetakrilat kompozitlerin ses absorbsiyonuna mineral katkılarının etkisi

Cam kure ilavesinin ses yutma katsayısına etkisi

Fındıkkabuğu/cam kure takviyeli kompozitlerin grafiği Şekil 9a'da verilmiştir. 425 mikron büyülükte fındıkkabuğu partikülü takviyeli kompozitlerin ses yutma katsayısı değeri 4298 Hz'de 0.16 ölçülmüştür. Fındıkkabuğu % 2.5 cam kure katkılı kompozitlerde 5184 Hz'de ses yutma katsayısı 0.25 olmuştur. Bu numunelerde ses yutumunda % 56'lık artış gerçekleşmiştir. % 5 cam kure ilaveli kompozitlerde maksimum ses yutma katsayı 4230 Hz'de 0.17 ölçülmüş ve ses yutumunda % 5'lik artış gerçekleşmiştir. % 10 cam kure takviyeli fındıkkabuğu kompozitlerde ses yutumu en yüksek 6388Hz'de 0.18 olmuş ve % 12 artış meydana gelmiştir.

Wollastonit ilavesinin ses yutma katsayısına etkisi

Fındıkkabuğu wollastonit kompozitlerin grafiği Şekil 9b'de verilmiştir. Mineral katkı bulunmayan fındıkkabuğu katkılı kompozitlerin ses absorbsiyon değeri 4230 Hz'de 0.16 olmuştur. % 2.5 Woollastonit içeren kompozitlerde en

yüksek 5502Hz'de 0.23 ses yutma katsayıya değerine ulaşmıştır. Bu oranlar fındıkkabuğu kompozitlere göre % 44 artışa karşılık gelmektedir. % 5

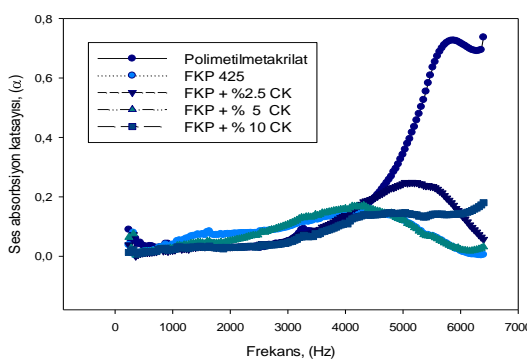
wollastonit içeren kompozitler maksimum 5051Hz'de 0.25 ses yutma oranına sahip olmuş ve sade fındıkkabuğu kompozitlere göre % 56 artış gerçekleşmiştir. % 10 wollastonit katkılı numuneler en yüksek 5051Hz'de %25 ses yutma katsayıya değerine ulaşmıştır. Bu kompozitler katkısız fındıkkabuğu numunelere göre % 56 daha fazla ses yutmuştur.

Mika ilavesinin ses yutma katsayısına etkisi

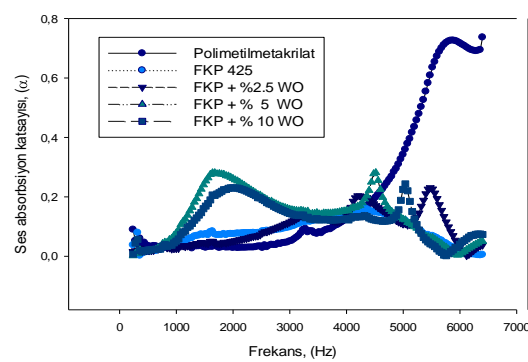
Fındıkkabuğu partiküllerine mika ilavesi ile oluşturulan kompozitlerin grafiği Şekil 10'da verilmiştir. Verilere göre %15 sade fındıkkabuğu takviyeli kompozitler 4248 Hz'de 0.17 oranında ses yutmuştur. % 2.5 mika ilavesi ile oluşturulan kompozitler 2041 Hz'de 0.59 oranında ses yutmuştur. Bu kompozitlerde ses yutma katsayılarında % 247'lik artış meydana gelmiştir. % 5 mika katkılı kompozitler 6086 Hz'de 0.23 ses yutmuş ve fındıkkabuğu takviyeli kompozitlerden % 35 daha fazla ses emilimi sağlamıştır. % 10 mika ilaveli kompozitler, 4314 Hz'de 0.11 ses yutmuştur ve saf haldeki malzemeye oranla % 35 daha az ses yutumu göstermiştir.

425 mikron partikül büyülüğünde fındıkkabuğu ile takviyeli kompozitlerde cam kure ve wollastonit'te maksimum ses yutma katsayı 0.25 olurken mika takviyeli kompozitlerde katsayı 0.59 kadar yükselmiştir.

Mikanın, hem 250 mikron hem de 425 mikron toz boyutlarına sahip fındıkkabuğu kompozitlerde ses yutumunda daha etkin olmasının nedeni, mikanın sertlik değerinin diğer minerallerden daha düşük olması olabilir. Bunun yanında partikül büyülüğünün ve dağılımının da etkin olduğu düşünülmektedir.

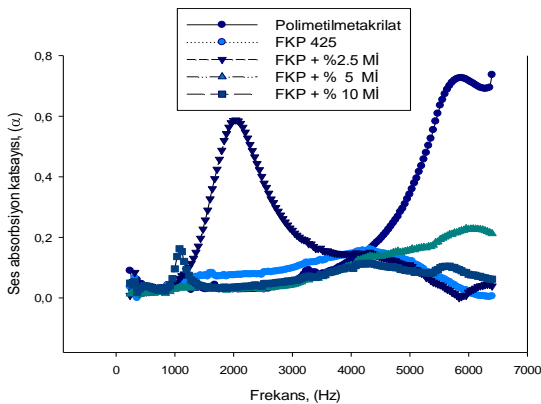


9a



9b

Şekil 9a Fındıkkabuğu cam küre ve 9b wollastonit takviyeli kompozitlerin grafiği



Şekil 10. Fındıkkabuğu mika takviyeli kompozitlerin grafiği

Morfoloji

Sade fındıkkabuğu takviyeli kompozitlerin sem görüntüleri Şekil 11 a, b, c, 'de verilmiştir. Görüntülerden, tane boyutu ile homojenlik arasında bir ilişki kurmanın mümkün olduğu gözlenmiştir. Yüz elli mikron tane boyutuna sahip kompozitin, daha pürüzszür bir kırık yüzey görüntüsü sergilediği görülmüştür(a). Yüzey pürzülüğü ve iç yapıdaki boşlukların, tane boyutunun artması ile arttığı sem görüntüleri ile teyit edildi. 250 mikron tane büyülüğine sahip kompozitler daha pürzülü bir görüntü ortaya koydu(b). İki yüz elli mikron büyülüğünde partikül ile takviyeli kompozitlerde, ses absorbsiyonunu etkileyen mikro boşlukların varlığı teyit edildi(b). 425 mikron takviye büyülüğine sahip kompozitlerde topaklanmanın varlığı ortaya konulurken, kırılmanın gevrek tarzda olduğu ve yüzeyde boşluk miktarının az olduğu görüldü(d).

Şekil 12'de 250 mikron partikül büyülüğine sahip fındıkkabuğu/mineral katkılı kompozitlerin sem görüntüleri verilmiştir. Eklenen mineraller kompozitte gözenekli yapıyı teşvik ederek, ses absorbsiyonuna katkı sağlamış ve kompozitlerin ses absorbsiyon katsayılarında artışa neden olmuştur.

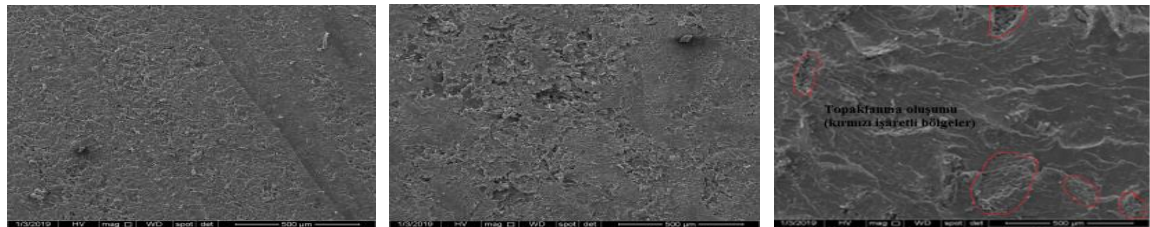
SONUÇ

Fındıkkabığında dış kabuğa yapışık, kabukla tohum arasındaki bağlantıyı sağlayan yumuşak yapı mevcuttur. Kabuğun boyutları ile ters orantılı olarak yapı içerisinde dağılmış yumuşak kısımlar partiküller arasında yoğunluk farkına neden olmuştur. En büyük partikül boyutuna sahip tozların kristalin indeksi de en büyütür. Buda büyük partiküllü tozların yoğunluğunun daha büyük olduğunu teyit eder.

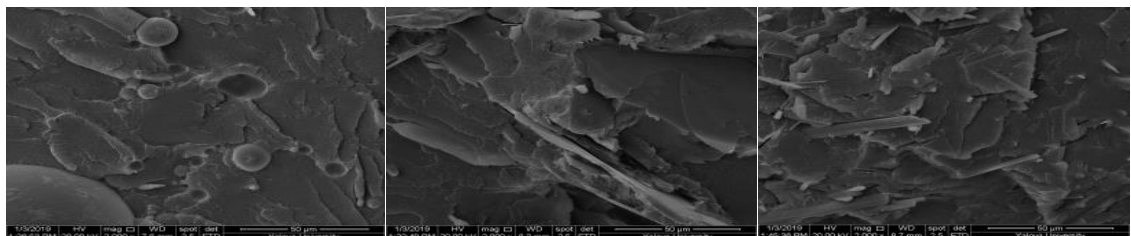
Partikül boyutunun 250 mikron ulaşması ile kompozit içerisindeki boşluk miktarı artmıştır. Bu durum, takviye boyutları daha küçük olan kompozitlere oranla daha fazla ses absorb etme yeteneğine sahip olduğunu göstermiştir. 425 mikron takviye büyülüğine sahip kompozitlerde ses absorbsiyonunun azalmasının nedeni, homojenliğin azalma ve topaklanma eğiliminin artmasına atfedilebilir.

Kompozit içerisinde ilave edilen mineral malzemeleri genellikle düşük katkı oranlarında gözenekliliği fazla artırmamıştır. Buna bağlı olarak ses absorbsiyonu özelliğine de etkin bir katkı yapmamıştır. % 10 oranında katılan cam küre ve mika daha gözenekli bir yapı oluşturup, yüksek ses absorbsiyonu ortaya koymustur.

Çalışmanın sonuçlarına göre, 250 ve 425 mikron boyutunda fındıkkabuğu tozu kullanılarak üretilen mika ve cam küre kompozitlerin ses absorbsiyonunun en yüksek olduğu belirlenmiştir. Bu malzemelerin bazı yapısal uygulamalarda 2050-2700 Hertz frekans aralığındaki sesleri absorb etmek için çevreci paneller olarak kullanılabileceği düşünülmektedir.



Şekil 11. a)150, b)250, c)425 mikron tane büyüklüğüne sahip kompozitlerin kırık yüzeylerine ait sem görüntüleri



Şekil 12. Fındikkabuğu ve mineral takviyeli kompozitlerin sem görüntüleri: a) cam küre, b) wollastonit, c) mika

KAYNAKLAR

- Borrell JMG, Sanchis EJ, Alcaraz JS, Belda IM (2020) Sustainable sound absorbers from fruit stones waste. *Applied Acoustics*, 161:107174
- Brebbia CA, De Wilde WP (2002) The development of sound absorbing materials using natural bamboo fibers, High Performance Structures and Composites, WIT Press, Ashurst Lodge, Southampton, SO40 7AA, UK
- Callister Jr WD (2007) Materials Science and Engineering An Introduction, seventh ed., John Wiley & Sons, Inc., Appendix B
- Chun-Won Kang CW, Oh SW, Lee TB, Kang W, Matsumura J, (2012) Sound absorption capability and mechanical properties of a composite rice hull and sawdust board. *J. Wood Sci* 58:273–278
- Doost-hoseini K, Taghiyari HR, Elyasi A (2014) Correlation between sound absorption coefficients with physical and mechanical properties of insulation boards made from sugar canebagasse, Composites: Part B, 58:10–15
- Dungani R, Karina M, Sulaeman SA, Hermawan D, Hadiyane A (2016) Agricultural waste fibers towards sustainability and advanced utilization, A Review Asian Journal of Plant Sciences. 15: 42-55
- Echeverria CA, Pahlevani F, Handoko W, Jiang C, Doolan C, Sahajwalla V (2018) Engineered hybrid fibre reinforced composites for sound absorption building applications. *Resources Conservation and Recycling*. 143:1-142019
- Fei Y, Fang W, Zhong M, Jin J, Fan P, Yang J, Fei Z, ID , Chen F, Kuang T (2018) Morphological structure, rheological behavior, mechanical properties and sound insulation performance of thermoplastic rubber composites reinforced by different inorganic fillers. *Polymers*, 10: 276
- Garcia-Garcia D, Quiles-Carrillo L, Montanes N, Fombuena V, Balart R (2018) manufacturing and characterization of composite fibreboards with posidonia oceanica wastes with an environmentally-friendly binder from epoxy resin. *Materials*, 11: 35 <https://www.omya.com/Turkiye/baglanti-tarihi-Aralik-2021>
- Iannace G (2017) The acoustic characterization of green materials”, *Building Acoustics*, 24(2): 101–113

- Jonoobi MJ, Harun P, Tahir L, Zaini S, Saiflu A, Makinejad M (2010) Characteristics of nanofibers extracted from kenaf core. *Bio-Resources* 5 (4): 2556–2566
- Joseph OO, Babaremu KO (2019) Agricultural waste as a reinforcement particulate for aluminum metal matrix composite. *A Review. Fibers*, 7:33
- Kang CW, Oh SW, Lee TB (2012) Sound absorption capability and mechanical properties of a composite rice hull and sawdust board. *J. Wood Sci* 58: 273–278
- Lapčík L, Vašina M, Lapčíková B, Hui D, Otyepková E, Greenwood RW, Waters KE, Naderzadeh M, Ghasemi I, Monazzam MR, Arabalibeik H (2018) An Investigation on Transparency and Mechano-Acoustic Properties of Poly Methyl Methacrylate/ Polycarbonate Based Nanocomposites, *Journal of Polymers and the Environment*, 26:2640–2649
- Pampuro N, Preti C, Cavallo E (2018) Recycling pig slurry solid fraction compostas a sound absorber. *Sustainability*, 10: 277
- Qui H, Enhui Y (2018) Effect of thickness, density and cavity depth on the sound absorption properties of wool boards, *Autex Research Journal*, 18: 2
- Roncero MB, Torres AL, Colom JF, T. Vidal T (2005) The effect of xylanase on lignocellulosic components during the bleaching of wood pulps”, *Bioresource Technology*. 96: 21–30
- Segal JE, Yuan XW, Jones MI (2011) Voids Characterisation In Carbon Fibre/Epoxy Composite Laminates”, 18th International Conference On Composite Materials, Icc Jeju Korea August 21-26.
- Segal L, Creely JJ, Martin E, Conrad CM (1959) An empirical method for estimating the degree of crystallinity of native cellulose using the x-ray diffractometer. *Textile Research Journal*, 29:10-786
- Tiuc AE, Nemeş O, Vermeşan H, Toma AC (2018) New sound absorbent composite materials based on sawdust and polyurethane foam. *Composites Part B: Engineering*, 165:120-130
- Vlček J (2019) Materials characterization of advanced fillers for composites engineering application. *Nanotechnol Rev.*, 8:503–512
- Xiaofei Z, Zhi S, Xiaozhi H (2014) Low temperature fracture toughness of PMMA and crack-tip conditions under flat-tipped cylindrical indenter”, *Polymer Testing*, 38: 57-63